

Silizium-Planartransistoren

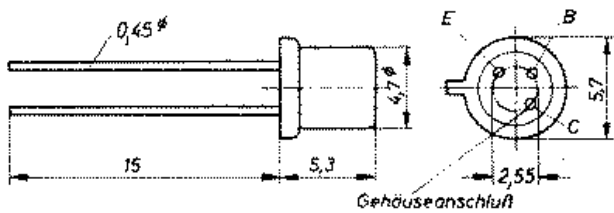
Typenreihe SF 131-132

Teil 1

Die Transistoren SF 131-132 sind Silizium-Planartransistoren mit npn-Struktur und sind für allgemeine Anwendung bestimmt. Der Transistor SF 131 eignet sich besonders für Gleichstromverstärker, NF-, Schalter- und HF-Anwendung bis 10 MHz. Der Transistor SF 132 lässt sich auf Grund einer zusätzlichen dynamischen Typisierung besonders als schneller Schalter und für HF-Zwecke mit hoher Spannungsfestigkeit einsetzen. Obwohl die f_T -Frequenz für beide Typen größer als 200 MHz ist, ist die Einsatzfrequenz für den SF 132 im Mittel nur bis 50 MHz in Basisschaltung und bis 100 MHz in Emitterschaltung sinnvoll. Bei optimalem Arbeitspunkt zeichnen sich beide Transistoren durch günstiges NF- und HF-Rauschverhalten aus.

Bauform

Die Typenreihe SF 131-132 wird mit dem Gehäuse A3/15-3a nach TGL 11811 (ähnlich TO-18) gefertigt. Der Kollektor ist elektrisch mit dem Gehäuse verbunden.



Abmessungen der Transistoren SF 131-132. Toleranzangaben sind der TGL 11811 zu entnehmen.

Thermische Kenngrößen

Wärmewiderstand zwischen Sperrsicht und Umgebung:

$$R_{th} \leq 500 \text{ grd/W}$$

Betriebstemperaturbereich

$$\theta_a = -40 \text{ }^\circ\text{C} \dots +125 \text{ }^\circ\text{C}$$

Alle aufgeführten Kenndaten sowie Diagramme beziehen sich, wenn nicht anders angegeben, auf

$$\theta_a = 25 \text{ }^\circ\text{C} - 5 \text{ grd}$$

Tabelle 1: Zulässige Höchstwerte

	SF 131	SF 132	Einstellwerte
U_{CB} max	20 V	40 V	45 °C
U_{CE} max	12 V	15 V	45 °C
U_{BE} max	4 V	5 V	45 °C
I_C max		50 mA	
I_B max		10 mA	
P max	300 mW		25 °C
θ_I max	175 °C		

Tabelle 2: Elektrische Kennwerte des SF 131

(für $\theta_a = 25 \text{ }^\circ\text{C} - 5 \text{ grd}$, wenn nicht anders angegeben)

	min ¹⁾	typ.	max ¹⁾
Kollektor-Basisreststrom I_{CBO} bei $U_{CB} = 20 \text{ V}$		1 nA	100 nA
Emitter-Basisreststrom I_{EBO} bei $U_{EB} = 4 \text{ V}$		1 nA	100 nA
Kollektor-Emitterspannung U_{CEO} bei $I_C = 10 \text{ mA}$	12 V	22 V	
Gleichstromverstärkung B bei $U_{CE} = 1 \text{ V}$, $I_C = 10 \text{ mA}$	20	60	200
Kollektor-Emittersättigungs- spannung $U_{CE(sat)}$ bei $I_C = 10 \text{ mA}$, $I_B = 1 \text{ mA}$		0,25 V	0,5 V
bei $I_C = 50 \text{ mA}$, $I_B = 5 \text{ mA}$		1,15 V	1,6 V
bei $I_C = 1 \text{ mA}$, $I_B = 0,1 \text{ mA}$		0,15 V	
Basis-Emitterspannung U_{BE} bei $I_C = 10 \text{ mA}$, $I_B = 1 \text{ mA}$	0,73 V	0,78 V	0,85 V
Übergangs frequenz f_T bei $U_{CE} = 10 \text{ V}$,			
$I_C = 10 \text{ mA}$, $f_m = 100 \text{ MHz}$	200 MHz	330 MHz	
Ausgangskapazität C_{221} bei $U_{CB} = 10 \text{ V}$, $I_B = 0$			
$f_m = 2 \text{ MHz}$	3,5 pF	3,7 pF	5 pF
bei $U_{CB} = 2 \text{ V}$, $I_B = 0$			
R_e (h _{FE}) bei $U_{CB} = 6 \text{ V}$,			
$I_C = 2 \text{ mA}$, $f_m = 240 \text{ MHz}$			40 Ω
Y-Parameter in Emitterschaltung bei $U_{CE} = 9 \text{ V}$,			
$I_C = 1 \text{ mA}$, $f_m = 10,7 \text{ MHz}$			
V_{11e}	$(0,62 + j 1,5) \text{ mS}$		
V_{12e}	$-(12 + j 205) \mu\text{S}$		
V_{21e}	$(27,5 - j 7) \mu\text{S}$		
V_{22e}	$(0,07 + j 0,53) \text{ mS}$		

1) Minimalwerte und Maximalwerte, die nicht im Kenndatenblatt garantiert werden, haben nur informativen Charakter und gelten für etwa 95% aller Bauelemente.

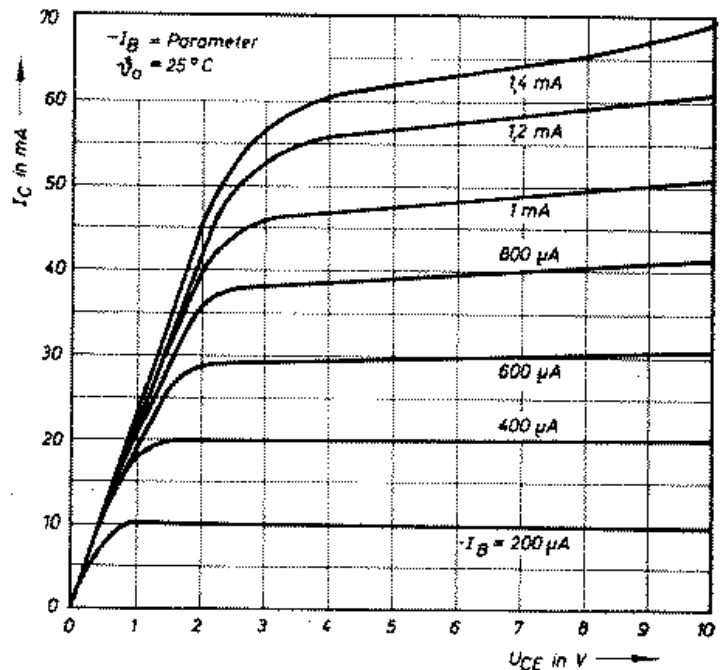


Bild 2: Mittleres Ausgangskennlinienfeld in Emitterschaltung für große Ströme des Typs SF 131

Tabelle 3: Elektrische Kennwerte des SF 132

(für $\vartheta_A = 25^\circ\text{C}$ — 5 grd, wenn nicht anders angegeben)

	min ¹⁾	typ.	max ¹⁾
Kollektor-Basisreststrom I_{CB0}			
bei $U_{CE} = 40\text{ V}$		1 nA	100 nA
Emitter-Basisreststrom I_{EB0}			
bei $U_{EB} = 5\text{ V}$		7 nA	100 nA
Kollektor-Emitterspannung U_{CEO}			
bei $I_C = 10\text{ mA}$	15 V	24 V	
Gleichstromverstärkung B			
bei $U_{CE} = 1\text{ V}$, $I_C = 10\text{ mA}$	20	40	80
Kollektor-Emittersättigungs- spannung U_{CEsat}			
bei $I_C = 10\text{ mA}$, $I_B = 1\text{ mA}$	0,25 V	0,5 V	
bei $I_C = 50\text{ mA}$, $I_B = 5\text{ mA}$	1,15 V	1,6 V	
bei $I_C = 1\text{ mA}$, $I_B = 0,1\text{ mA}$	0,15 V		
Basis-Emitterspannung U_{BE}			
bei $I_C = 10\text{ mA}$, $I_B = 1\text{ mA}$	0,73 V	0,78 V	0,85 V
Übergangsfrequenz f_T			
bei $U_{CE} = 10\text{ V}$, $I_C = 10\text{ mA}$	200 MHz	270 MHz	
$f_m = 100\text{ MHz}$			
Ausgangskapazität C_{22b}			
bei $U_{CE} = 10\text{ V}$, $I_E = 0$	3,4 pF	3,6 pF	5 pF
$f_m = 2\text{ MHz}$			
Kollektor-Rückwirkungszeit- konstante $ h_{22b} /\alpha$			
bei $U_{CE} = 6\text{ V}$, $I_C = 2\text{ mA}$			
$f_m = 30\text{ MHz}$	52 ps	72 ps	130 ps
$R_s(h_{22b})$			
bei $U_{CE} = 6\text{ V}$, $I_C = 2\text{ mA}$			
$f_m = 240\text{ MHz}$			35 Ω
Y-Parameter			
bei $U_{CE} = 6\text{ V}$, $I_C = 2\text{ mA}$, $f_m = 37\text{ MHz}$			
Y_{11b}	(5,3 + j 5,2) mS		
Y_{12b}	— (58 + j 750) μS		
Y_{21b}	(27 + j 25) mS		
Y_{22b}	(0,45 + j 1,58) mS		
bei $U_{CE} = 6\text{ V}$, $I_C = 2\text{ mA}$, $f_m = 50\text{ MHz}$			
Y_{11b}	(30 + j 19) mS		
Y_{12b}	— (0,48 + j 0,62) mS		
Y_{21b}	(— 25 + j 22,5) mS		
Y_{22b}	(0,56 + j 2,05) mS		
optimale Leistungsverstärkung ²⁾			
V_{popt}			
bei $U_{CE} = 6\text{ V}$, $I_C = 2\text{ mA}$, $f = 100\text{ MHz}$		11,9 dB	
V_{phopt}			
bei $U_{CE} = 6\text{ V}$, $I_C = 2\text{ mA}$, $f = 50\text{ MHz}$		12,3 dB	

$$^1) \quad V_{popt} = \frac{|Y_{21}|^2}{4 \cdot g_{11} \cdot g_{22}}$$

Tabelle 4: Schaltzeiten der Typen SF 131 und SF 132,

in der Schaltung nach Bild 1 gemessen mit $m = I_{B1} \cdot B_0/I_C$

t_f für $m = 1$	35 ns
t_r für $m = 1$	160 ns
t_r für $m = 3$	30 ns
$t_f + t_r$ für $m = 3$	500 ns
Rauschfaktor F	
bei $U_{CE} = 6\text{ V}$,	
$I_C = I_{Copt}$, $R_g = R_{gopt}$	
$f = 1\text{ kHz}$	7,0 dB
$f = 10\text{ kHz}$	3,5 dB
$f = 100\text{ kHz}$	2,5 dB
$f = 50\text{ MHz}$	6,0 dB
maximale Schwingfrequenz ³⁾ f_{max}	
bei $U_{CE} = 10\text{ V}$, $I_C = 10\text{ mA}$	410 MHz

$$^3) \quad f_{max} = \sqrt{\frac{f_T}{8\pi \cdot r_b \cdot C_{ci}}}$$

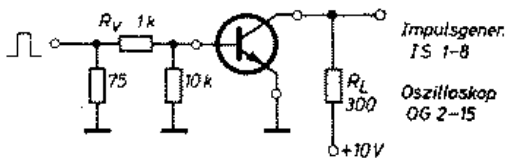


Bild 1: Schaltung für die Schaltzeitmessungen

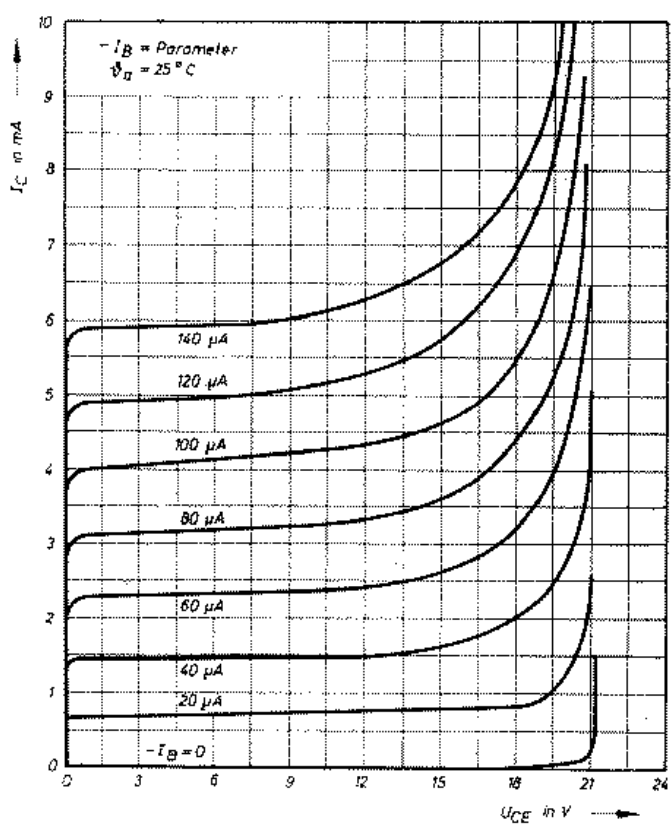


Bild 3: Mittleres Ausgangskennlinienfeld in Emitterschaltung für hohe Spannung des Typs SF 131

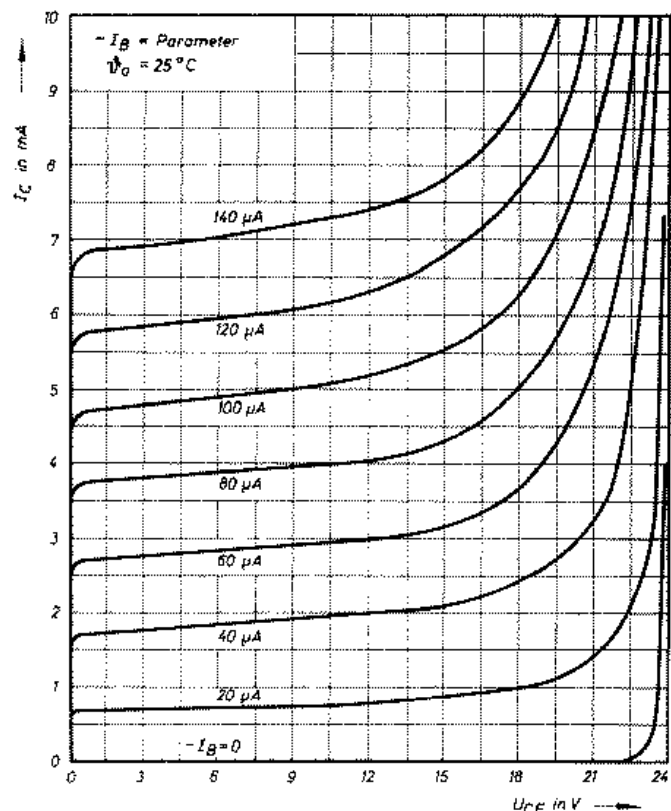


Bild 4: Mittleres Ausgangskennlinienfeld in Emitterschaltung für hohe Spannung des Typs SF 132

Silizium-Planartransistoren

Typenreihe SF 131-132

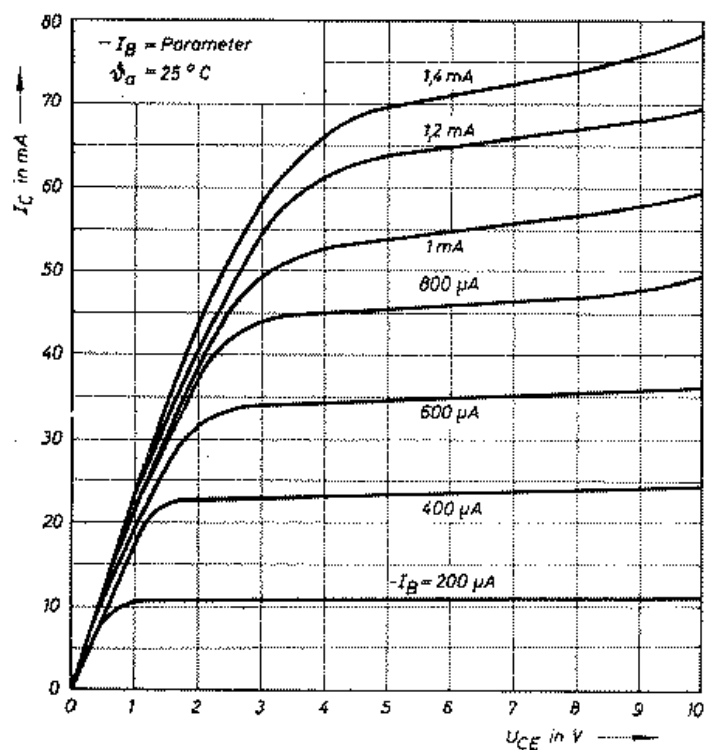


Bild 5: Mittleres Ausgangskennlinienfeld in Emitterschaltung für große Ströme des Typs SF 132

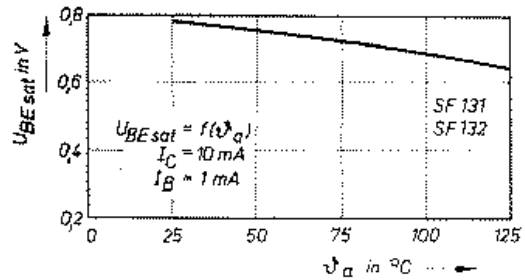


Bild 6: Mittlere Temperaturabhängigkeit Emitter-Basis-Sättigungsspannung

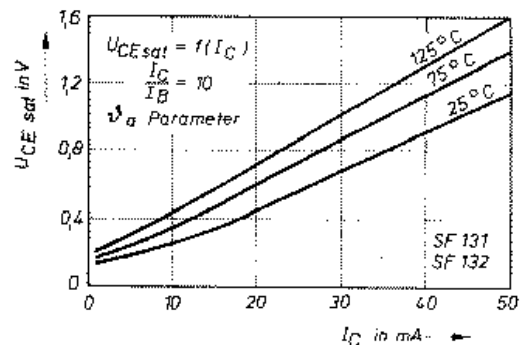


Bild 7: Mittlere Temperaturabhängigkeit der Kollektor-Emitter-Sättigungsspannung

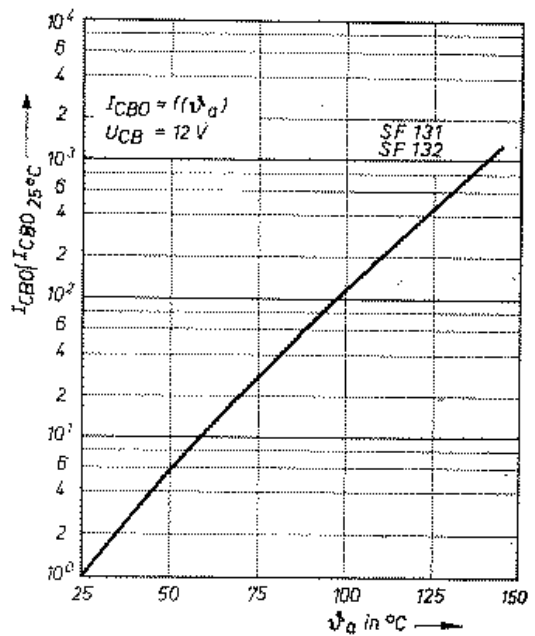
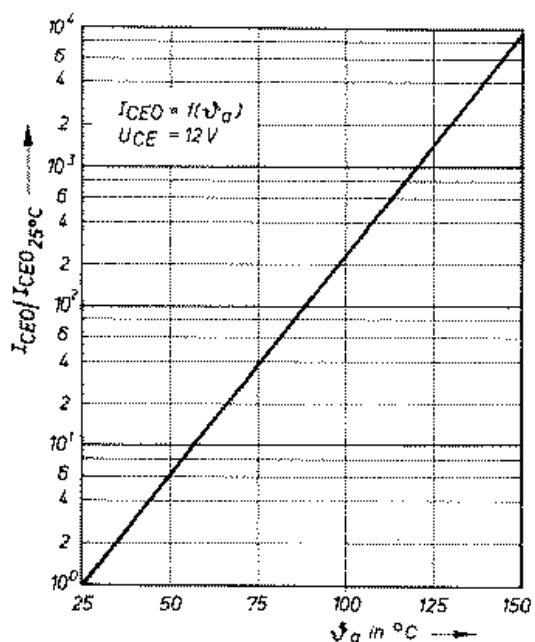


Bild 8: Normierte Temperaturabhängigkeit der Restströme I_{CEO} und I_{CBO}

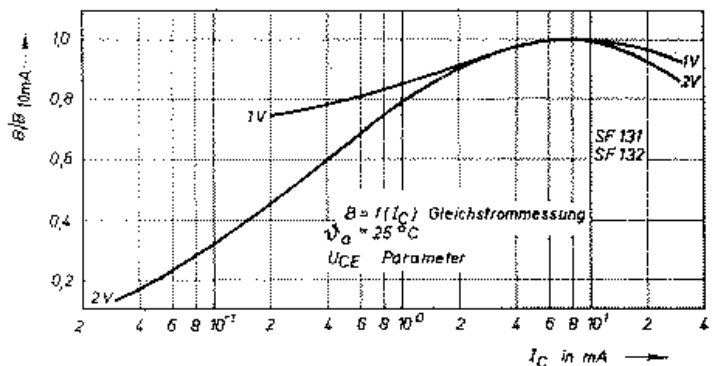


Bild 9: Normierte Stromabhängigkeit der Gleichstromverstärkung B

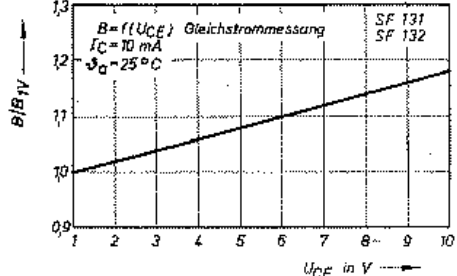


Bild 10: Normierte Spannungsabhängigkeit der Gleichstromverstärkung B

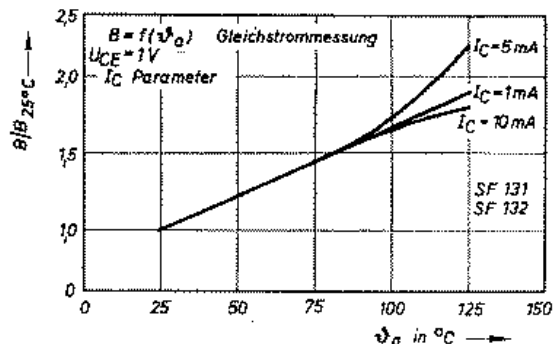


Bild 11: Normierte Temperaturabhängigkeit der Gleichstromverstärkung B

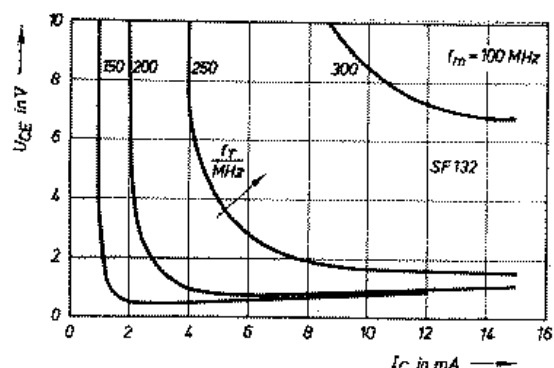


Bild 12: Mittlere Abhängigkeit der Übergangsfrequenz f_T von Strom und Spannung

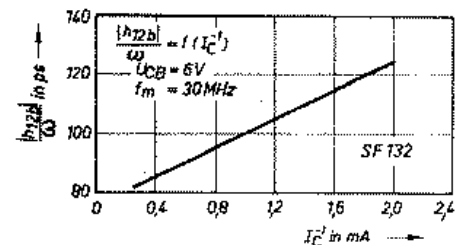


Bild 13: Stromabhängigkeit der Kollektorrückwirkungszeitkonstanten

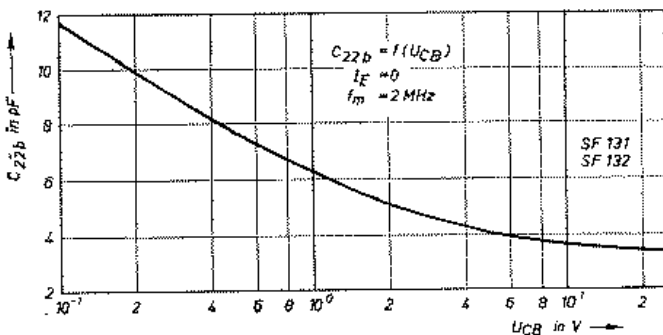


Bild 14: Kurzschlußausgangskapazität als Funktion der Spannung U_{CE}

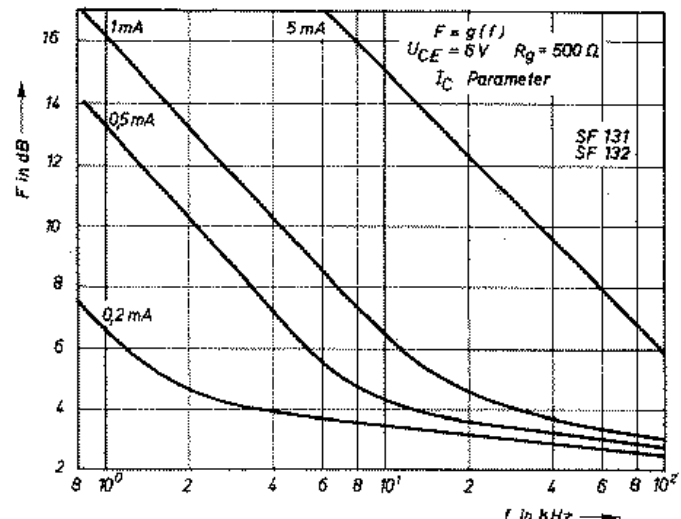


Bild 15: Mittlere Abhängigkeit des Rauschfaktors im NF-Gebiet vom Kollektorstrom I_c

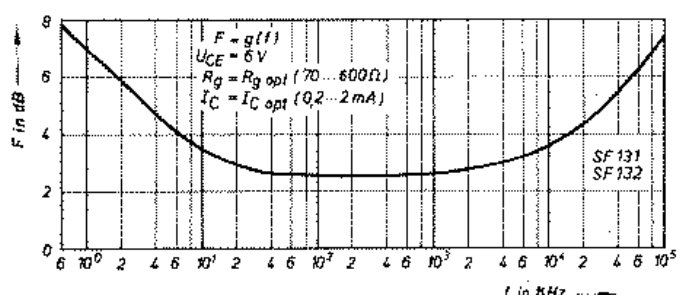


Bild 16: Mittlerer Rauschfaktor über der Frequenz bei optimalem Quellenwiderstand und Kollektorstrom

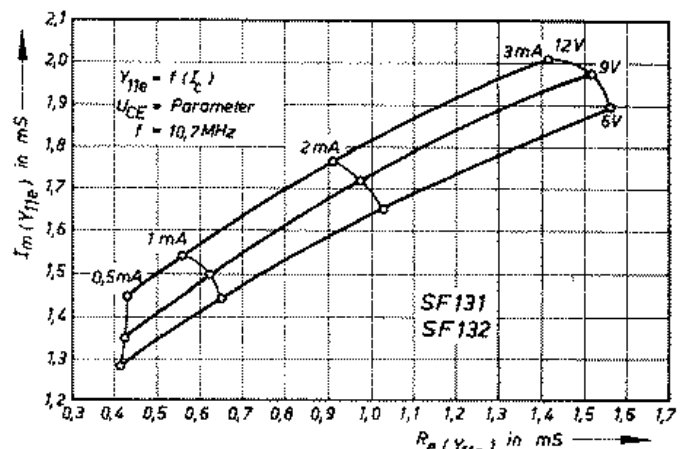


Bild 17: Mittlerer Kurzschlußeingangsleitwert in Emitterschaltung als Funktion von Strom und Spannung bei der Frequenz 10,7 MHz

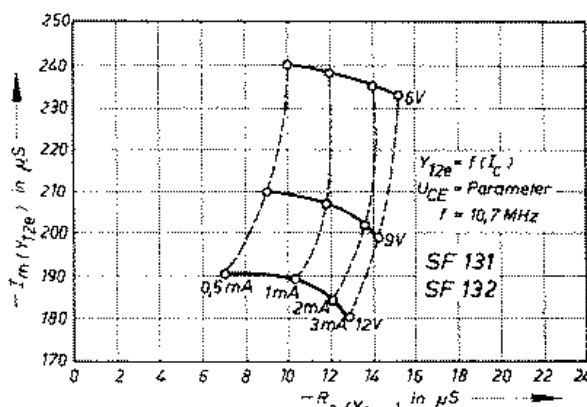


Bild 18: Mittlerer Kurzschlußbrückwirkungsleitwert in Emitterschaltung als Funktion von Strom und Spannung bei der Frequenz 10,7 MHz

Silizium-Planartransistoren Typenreihe SF 131-132

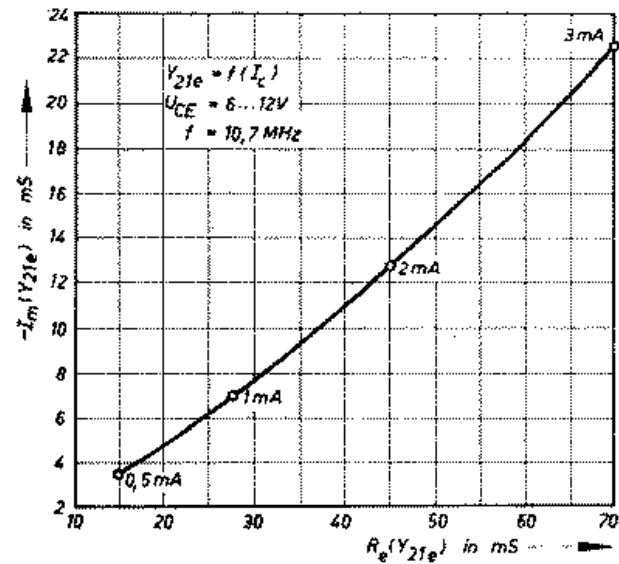


Bild 19: Mittlere Kurzschlußleitheit in Emitterschaltung als Funktion von Strom und Spannung bei der Frequenz 10,7 MHz

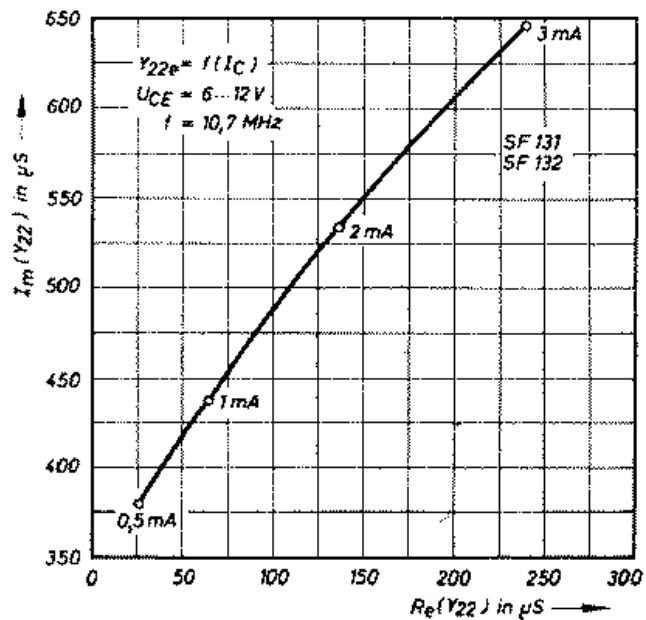


Bild 20: Mittlerer Kurzschlußausgangsleitwert als Funktion von Strom und Spannung bei der Frequenz 10,7 MHz

Bild 21: Mittlere Ortskurve des Kurzschlußeingangsleitwertes in Emitterschaltung

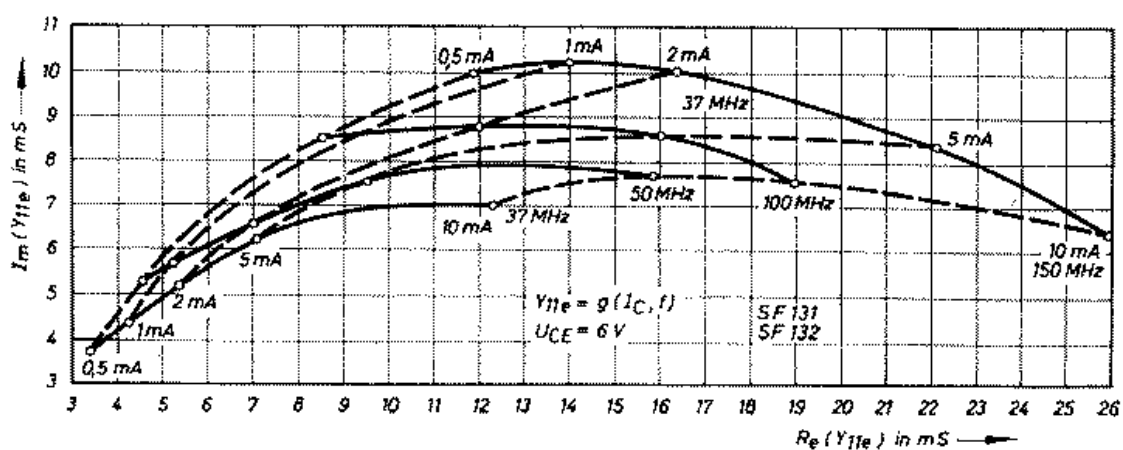
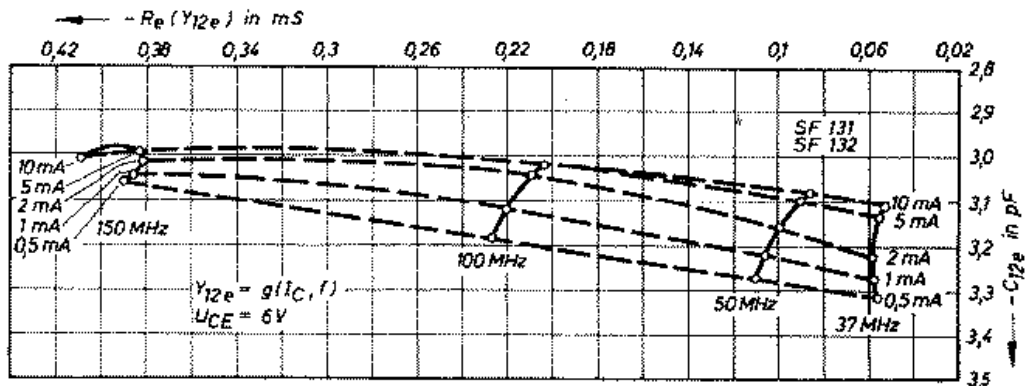


Bild 22: Mittlere Ortskurve des Kurzschlußbrückwirkungsleitwertes in Emitterschaltung



$R_e(Y_{21e})$ in mS

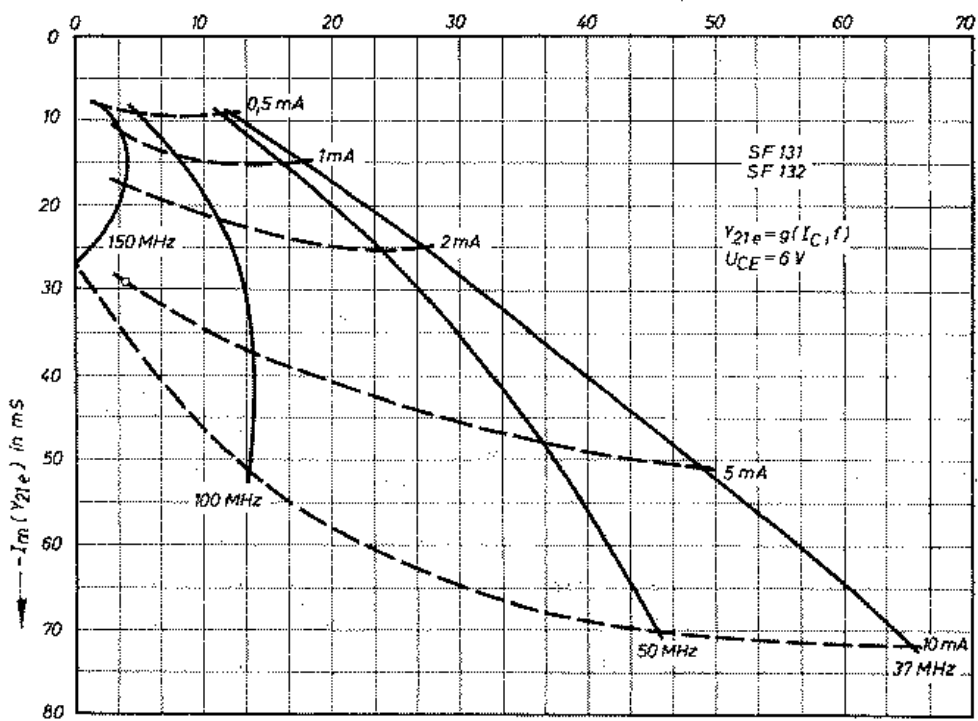


Bild 23: Mittlere Ortskurve der Kurzschlußsteilheit in Emitterschaltung

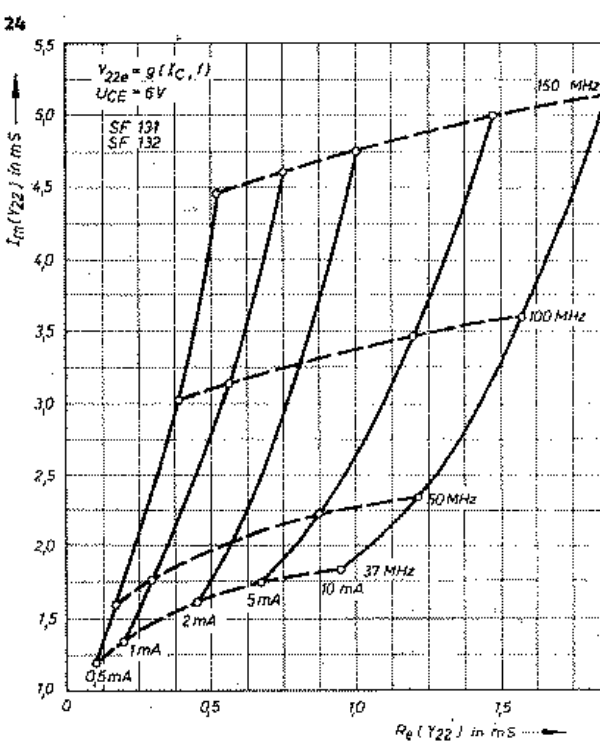
Bild 24: Mittlere Ortskurve des Kurzschlußausgangsleitwertes

Bild 25: Mittlere Ortskurve des Kurzschlußeingangsleitwertes in Basisschaltung

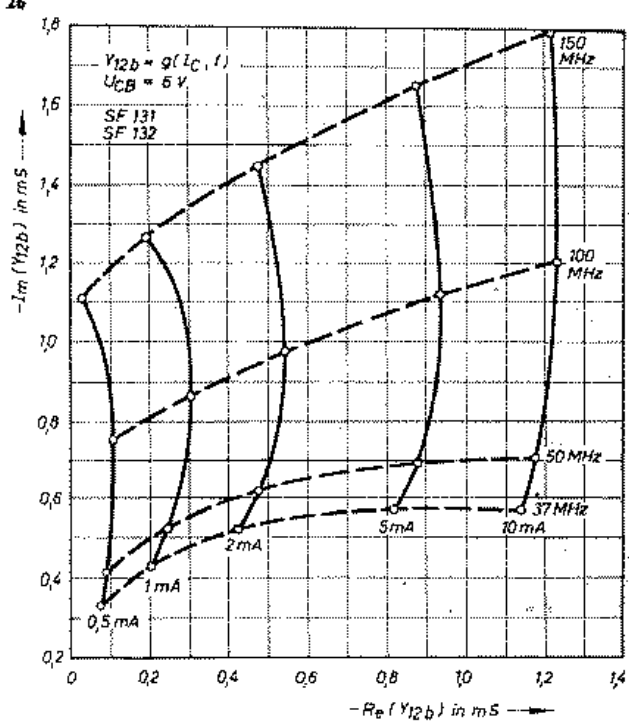
Bild 26: Mittlere Ortskurve des Kurzschlußrückwirkungsleitwertes in Basisschaltung

Bild 27: Mittlere Ortskurve der Kurzschlußsteilheit in Basisschaltung

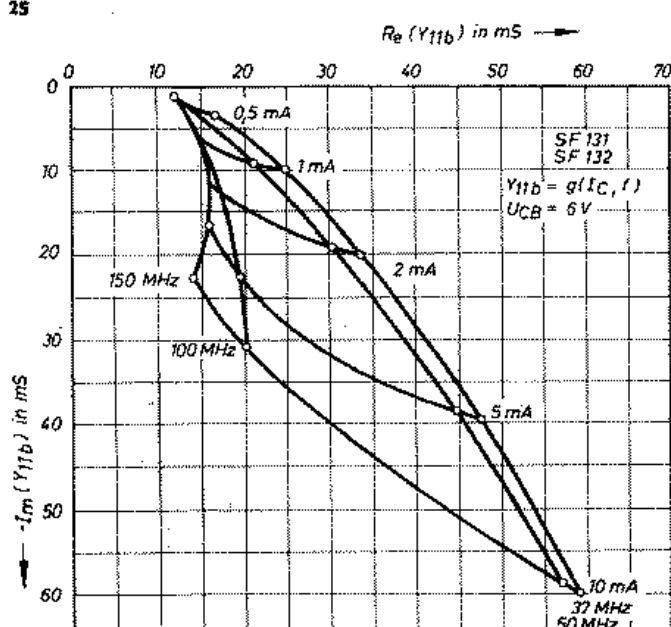
23



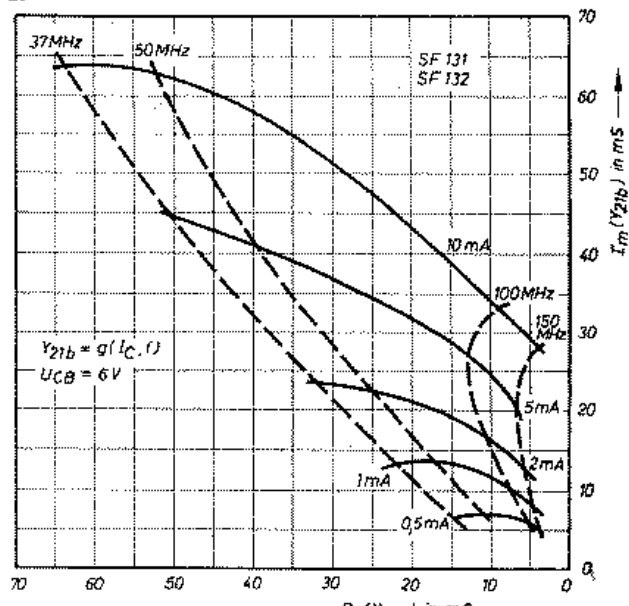
24



25



26



27